

Vysoká škola: strojní a textilní Fakulta: strojní
Katedra: sklářských a keramických Školní rok: 1986/87
strojů

ZADÁNÍ DIPLOMOVÉ PRÁCE

(PROJEKTU, UMĚLECKÉHO DÍLA, UMĚLECKÉHO VÝKONU)

pro Petra Kučeru

obor 23-21-8 Stroje a zařízení pro chemický, potravinářský a spotřební průmysl

Vedoucí katedry Vám ve smyslu nařízení vlády ČSSR č. 90/1980 Sb., o státních závěrečných zkouškách a státních rigorózních zkouškách, určuje tuto diplomovou práci:

Název tématu: Automatizace broušení piezokeramických kruhových výlisků

Zásady pro vypracování:

V současné době se provádí broušení piezokeramických kruhových výlisků v závodě Tesla Ráženava způsobem, který výkazuje nízkou produktivitu práce zejména vzhledem k nevyhovujícímu způsobu měření tloušťky broušené destičky. Úkolem diplomové práce je návrh kontinuálního způsobu měření.

Práce bude zahrnovat:

1. Podrobný rozbor současného stavu (strojní zařízení, technologie, způsob měření tloušťky destičky).
2. Alternativní návrhy možného uspořádání, které zajistí kontinuální snímání tloušťky broušených destiček.
3. Rozpracování zvolené varianty.
4. Technickoekonomické zhodnocení navrženého řešení.

Rozsah grafických prací: přibližně 40 stran textu doložených potřebnými
Rozsah průvodní zprávy: výpočty a grafickou dokumentaci

Seznam odborné literatury:

- Podklady n.p. Tesla Raspenava
- Firmenlit. fy TRANSAT Corp.

Vedoucí diplomové práce: Doc. Ing. Vladimír Klebsa, CSc.

Datum zadání diplomové práce: 1.10. 1986

Termín odevzdání diplomové práce: 11.5. 1987

L.S.

Doc. Ing. Jaroslav Beldá, CSc.
Vedoucí katedry

Doc. Ing. Ján Alexiny, CSc.
Dekan

v Liberci dne 1.10. 1986

VYŠECKÁ ŠKOLA STROJNÍ A TEXTILNÍ V LIBERCI

nositelka Řádu práce

Fakulta strojní

obor 23 - 21 - 8

Stroje a zařízení pro chemický, potravinářský
a spotřební průmysl

zaměření

Sklářské a keramické stroje

Katedra sklařských a keramických strojů

Automatizace broušení piezokeramických kruhových

výlisků

Petr Kučera

DP 124/87

Vedoucí práce: Doc.ing. Vladimír Klebsa CSc., VŠST Liberec

Konzultant: s. Milan Kohrle, Tesla Raspenava

Rozsah práce a příloh:

počet stran	.48..
počet obrázků	.30..
počet výkresů	.10..
počet tabulek	.3..
počet příloh	.0..

Datum: 11.5.1987

Seznam použitých zkrátek

U - napětí	/kV/
f_s - kmitočet sériový	/Hz/
f_p - kmitočet paralelní	/Hz/
Δf - kmitočtové pásmo	/Hz/
f_r - kmitočet rezonanční	/MHz/
f_t - kmitočet referenční	/MHz/
r - ohnisková vzdálenost	/mm/
p_0, p, p_1 - tlak	/MPa/
Δp - rozdíl tlaků	/MPa/
P_d - převod	
K - konstanta	
π - konstanta	
$\gamma, \gamma_1, \gamma_2$ - součinitel kontrakce	
n_{21}, n_{51} - otáčky	/min /
b, b_1, b_2 - šířka	/mm/
t, t_1, t_2 - tloušťka	/mm, um/
h, H, v - výška	/mm/
D, D_1, D_2 - průměr	/mm/
a, b, l, L - délka	/mm/
x - vzdálenost	/mm/
Δx - rozdíl vzdáleností	/mm/
S, S_1, S_2 - plocha	/mm ² /
α - úhel	/ °/

OBSAH

Úvod	5
1.Rozbor současného stavu	6
1.1 Technologie výroby mezinfrekvenčních filtrů	6
1.2 Operace broušení	11
1.2.1 Technologie broušení a způsob měření tloušťky	11
1.2.2 Sortiment broušených polotovarů	13
1.2.3 Planetové bruska UP 333	14
1.2.4 Hodnocení současného stavu	18
2.Možnosti měření délek	22
2.1 Měřidla s převodem pákovým	22
2.2 Měřidla s převodem pružinovým	23
2.3 Měřicí přístroje s převodem ozubenými koly a ozubenými segmenty	24
2.4 Přístroje s převodem mechanicko-optickým	22
2.5 Přístroje s převodem pneumatickým	23
2.6 Přístroje s převodem elektrickým	27
2.7 Měření s využitím interference	29
2.8 Hodnocení metod, měřidel a přístrojů	30
3.Varianty řešení	31
3.1 Přímé měření tloušťky v procesu broušení	31
3.2 Měření tloušťky pneumaticky	35
3.3 Výběr optimální varianty	40
4.Rozpracování zvolené varianty	44
5.Technicko-ekonomické zhodnocení	46
6.Závěr	47
Seznam literatury	48

Úvod

Obory keramického průmyslu v sobě zahrnují široký okruh specializované keramické výroby, rozmístěné prakticky na celém území naší republiky. Patří k těm několika málo odvětvím, pro jejichž rozvoj máme dobrou vlastní surovinovou základnu. Přírodní ložiska surovin pro keramickou výrobu jsou u nás poměrně bohatá a mají pro naše národní hospodářství značný význam. O této skutečnosti svědčí i jednání XVII. sjezdu Komunistické strany Československa. V dokumentu XVII. sjezdu KSC "Hlavní směry hospodářského a sociálního rozvoje ČSSR na léta 1986 - 1990 s výhledem do roku 2000" se ukládá :

"Soustředit pozornost na odvětví opírajících se o vlastní surovinovou základnu. Ve výrobě skla, porcelánu, jerné keramiky a bižuterie věnovat mimořádnou pozornost modernizaci výrobní základny. Dosáhat tím vyššího zhodnocování domácích surovin."

Výroba keramiky má u nás bohatou tradici a patří mezi nejstarší výrobní obory. S rozvojem lidské společnosti a s rozvojem výrobních sil se rozvíjela i keramická výroba. Zvláště v posledním období se její rozvoj podstatně urychluje a rozšiřuje.

V rozvoji našeho národního hospodářství bude keramické výrobě připadat stále významnější role. Jen v 8. pětiletce - 1986-1990 - vzroste výroba sklářského a keramického průmyslu o 20 %. Při tom se počítá jak se zvýšením objemu vývozu těchto výrobků zejména do socialistických zemí, tak i se zvýšením dodávek pro tuzemský trh a tak dosáhnout vyššího stupně uspokojení stále rostoucích domácích potřeb.

Keramické materiály pro své specifické vlastnosti, jako je např. pevnost, odolnost proti otěru, odolnost proti teplotám, nízká tepelná a elektrická vodivost, protichemická odolnost a některé další, jsou vyhledávanými a v nejednom případě i nezastupitelnými a nenehraditelnými. Pro tyto specifické vlastnosti

jsou keramické materiály ve značném rozsahu používány v oblasti výroby a přenosu elektrické energie, jsou nepostradatelnými při výrobě v elektrotechnickém a elektronickém průmyslu. V českých oborech, které jsou významními nositeli vědecko-technického pokroku, budou keramické materiály bezpochyby nabývat stále více na svém významu.

Jedním z výrobců elektrokeramiky v severočeském kraji je římský závod koncernového podniku Tesla Hradec Králové v Rospěnavě. Ten-to závod vyrábí keramické výrobky s piezoelektrickou vlastností, tzv. rezonátory. Výroba rezonátorů probíhá v několika operacích, které se často provádějí na zastaválem strojním zařízení s vysokou pracností. Jednou z operací přípravy polotovarů je broušení. Vykažuje nízkou produktivitu práce i kvalitu výrobů. Zlepšením docavačního stavu se zabývá kato diplomový práce.

1. Rozbor současného stavu

Tato kapitola bude obsahovat:

- popis technologie výroby mezifrekvenčních filtrů
- popis operace brusení

1.1 Technologie výroby mezifrekvenčních filtrů

V závodě Tesla Raspenava se vyrábí součástky pro elektroniku. Významnou část produkce tvoří tzv. rezonátory. Jde o keramické výrobky mající piezoelektrické vlastnosti /mechanickou deformaci vzniká na některých kryštallických látkách elektřina a naopak takový krystal vložený do elektrického pole se deformauje, mění svůj tvar/. Tyto rezonátory se pomocí kontaktů spojí, vloží se do krytu a expedují se jako mezifrekvenční filtry.

Výchozí surovinou pro výrobu jsou hmoty pod označením PKM 13 a PKM 15. Složení těchto hmot je následující :

PKM 13 - oxid olovnatý /PbO/
oxid titaničitý /TiO₂/
oxid zirkoničitý /ZrO₂/
oxid niobičitý /Nb₂O₅/
oxid hořečnatý /Ta₂O₅/
oxid manganičitý /MnO₂/

PKM 15 - složení je podobné, ale místo oxidu hořečnatého je
oxid kademnatý /CdO/

Nejvýznamnější složkou je oxid olovnatý, kterého je v obou hmotách přibližně 60 %.

Příprava hmot PKM se neprovádí v Tesla Raspenavě a zahrnuje tyto operace :

- navažování
- mletí za mokra
- odšlezezování
- odvodňování
- sušení

- drcení
- kalcinace
- zpracování pojiva
- předlisování
- skladování

Vlastní výrobu můžeme rozdělit do tří etap :

- A/ Výroba polotovarů
- B/ Výroba rezonátorů
- C/ Sestavení filtrů

A/ Výroba polotovarů /označení SA 432 65, 66, 67 /

Přivezená hmota PKM se lisuje na lise Kovopol tlakem 60 až 70 MPa. Jedná se o suché lisování; vlhkost hmoty je 3 %. Výlisky se narchvnají do pouzder a prosypou se hmotou stejného složení. Každé pouzdro má dvě části: vnitřní /čárovákové/ a vnější /K 11/. Vejde se do něho cca 4 000 ks výlisků. Pouzdra /3 - 1/ se vloží do komorové pece KPZ 3 a provede se výpal. Teplota výpalu je 1 200 - 1 300°C podle složení výlisku s přesností $\pm 10^\circ\text{C}$. Výdrž na maximální teplotě asi jednu hodinu. Výpalky se očistí od zásypové hmoty, roztřídí se a brouší se na planetové brusce UP 333 na požadovanou tloušťku. Obroušené polotovary se opětovnou vodou a osuší. Veškerých nečistot se zlaví vyprášením v ultrazvukové myžce UP 356.

B/ Výroba rezonátorů /ozn. SF 684 13, 14, 15 /

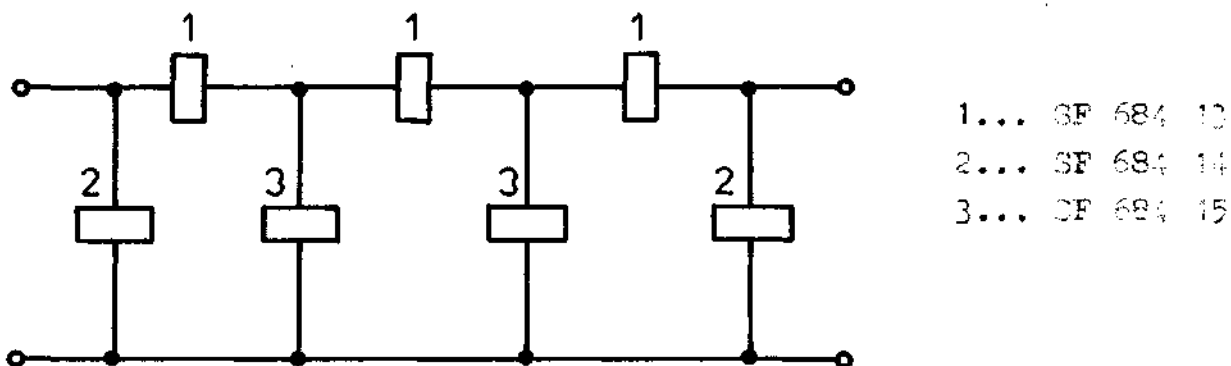
První operaci je pokovení. Provádí se většinou vakuovým napařováním v několika vrstvách /hliníkové, niklová, zlatá - poslední vrstva/. Pokovené polotovary se stímají /po 10-ti až 20-ti/ ve válečky a brouší se na kulato na beshroté brusce BRZ 60. Po rozetmelení, vyprášení a vysušení se polotovary vloží do polarizačního zařízení mezi dvě elektrody /napětí $U = 2,5 \text{ kV}$ na milimetr/. Dojde k polarizaci na určitý rozdíl sériového respektive paralelního kmítka a polotovar = rezonátor získal piezoelektrické vlastnosti. Následuje operace, která se

nazývá technologické stárnutí /provádí se kvůli změně vlastnosti s časem/. Rezonátor se nechá ležet asi týden v sušérnu za teploty 100°C . Další týden rezonátor "stárne" za normální teploty. Protože platí, že rezonátory mají různé kmitočty, provádí se jejich úprava obroušováním po obvodě. Obroušováním se zvyšuje kmitočet. Následuje opětné umělé technologické stárnutí. Dále se rezonátory rozměrují do paletek

- podle sériového kmitočtu / f_s / a paralelního kmitočtu / f_p / po 50 Hz
- podle kmitočtového pásma $\Delta f = f_s - f_p \approx 465 \text{ Hz}$

C/ Sestavení vlastního mezifrekvenčního filtru /osn. SK 854 15, 15a /

Nejprve se podle klíče vybírájí rezonátory a spojují tak, aby křivka na osciloskopu /tzv. charakterograf/ odpovídala daným požadavkům. Jedná se tedy o elektrické sestavení filtru - viz obr. 1.



Obr. 1 Elektrické zapojení filtru.

Dále se provede mechanické sestavení filtru. Rezonátory se propojí na pevno /pájením/ a vloží se do krytu. Následným měřením se zjišťuje zda mezifrekvenční filtr odpovídá požadovaným parametrům. Pokud ano, kryt se zaletuje a výrobek je hotov.

1.2 Operace broušení

Broušení keramických výpalků je jednou z operací zpracování polotovarů. Následuje po lisování a výpalu.

Budu se zabývat popisem broušení z hlediska technologie, měření tloušťky, sortimentu broušených polotovarů, strojního zařízení. Na závěr bude hodnocení současného stavu broušení.

1.2.1 Technologie broušení a způsob měření tloušťky

Používané zařízení, přípravky, pomůcky:

- planetová bruska UP 333
- unášecí planetky
- stopky
- sítko
- zásobníky
- utěrka
- štětec
- mikrometr /nebo číselníkový úchylkoměr/

Používaný materiál:

- brusivo siliciumkarbid /SiC/
- glycerin technický
- olej K8
- buničitá vata
- voda užitková

Technologický postup:

Brusné plochy obou brusných desek /kotoučů/ se důkladně očistí a osuší. Potom se přeleští čistým hadrem lehce nasáklým olejem K8 a na spodní brusnou desku se položí 5 planetek /satelitů/. Planetky nesmějí mít poškozené ozubení, otřepy ne zubech nebo v otvorech pro unášení broušených předmětů. Jejich tloušťka musí být 0,8 ež 0,9 konečné tloušťky výbrusu. Do otvorů planetek se založí výpalky, které musí být o 1 mm menší než průměr otvoru. Osazují se všechny otvory v planet-

kách. V případě nutnosti se mohou některé středově symetricky vyněchat. Roztečné kružnice otvorů v planetových maskách se volí tak, aby vložené keramické výpalky v nich přejížděly přes okraje brousících desek o 1/5 až 1/10 průměru výpalku. Vzdálenost mezi otvory planetové masky je asi 4 - 8 mm. Při zkládání keramických výpalků do otvorů planetek nesmí dojít k tomu, aby výpalek zůstal částečně ležet na planetce.

Na činné plochy brusných desek se štětcem nanese brusná suspenze. Její složení je následující: 200 dílů glycerinu, 125 dílů brusiva, 105 dílů vody. Dále se opatrně přiloží horní brusná deska a na ní se umístí závaží /1-2 po 1,5 kg/. Deska se zajistí závorou proti otáčení. Spustí se motor několiku planetek. Do otvorů v horní desce se během broušení přidává brusná směs podle potřeby. Klínovitost se vyrovnává v průběhu broušení překlápním výpalků.

Vlastní broušení lze rozdělit do tří fází:

1/ Broušení cca 2 minuty. Účelem je zarovnání původně nestejně tlustých výpalků. Po těchto 2 minutách se stroj zastaví. Vyjmě se 5 kusů /po jednom z každé planetky/, vloží se do sítka a opláchnou se pod tekoucí vodou. Po otření utěrkou se změří jejich tloušťka mikrometrem nebo satinovým úchylkoměrem.

2/ Zapnou se stopky a provéď se další broušení. Po určité době se stroj opět zastaví. Zase se vyjmě asi 5 kusů a proměří se jako v předešlém bodě. Z času na stopkách a z úbytku broušeného materiálu se vypočte rychlosť broušení /úbytek materiálu za jednotku času/. Z rychlosti broušení a z tloušťky, kterou je nutno ještě odbroušit, snadno zjistíme dobu dobroušení.

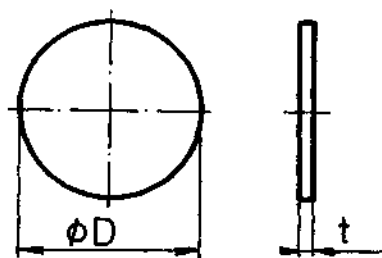
3/ Proveď se dobroušení po vypočtený čas.

Pokud tloušťka keramických výbrusů vyhovuje platné výkresové dokumentaci, provede se jejich opláchnutí ve vodě a vysušení buničitou vatou. Pak následuje další výrobní operace.

1.2.2 Sortiment broušených polotovarů

Jedná se v podstatě o 2 typy polotovarů-výpalek.

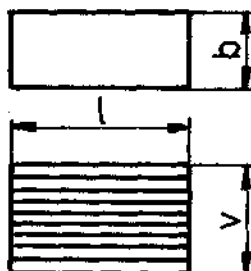
a/ Výpalek kruhovitého tvaru - o různém průměru D, broušený z tloušťky t₁ na tloušťku t₂ - obr.2.



Obr.2 Výpalek kruhovitého tvaru.

průměr D /mm/	tloušťka t /mm/:	
	po výpalu t ₁	po obroušení t ₂
6,2 ± 0,3	0,8 + 0,3	0,47 ± 0,01
		0,3 ± 0,01
	1,5 + 0,3	1,1 ± 0,01
5,4 ± 0,3	0,9 + 0,2	0,8 ± 0,01

b/ Výpalek obdélníkového tvaru. Těchto asi 20 stmelených se brousí ze šířky b₁ na šířku b₂ - obr.3.



Obr.3 Výpalky obdélníkového tvaru.

délka l /mm/	výška v /mm/	šířka b /mm/	
		po výpalu b ₁	po obroušení b ₂
29 ± 1	20 + 1	5,5 ± 0,4	4,45 ± 0,03

1.2.3 Planetová bruska UP 333 /3/

Účel a použití stroje:

Oboustranná bruska - typ UP 333 - je určena k oboustrannému broušení plochých předmětů, zvláště desek z polovodičových materiálů /Ge, Si/. Účelem broušení /lapování/ je dosažení vysoké planparallelity, hladkosti povrchu; při dodržení žádatelné tloušťky.

Technické data:

Základní rozměry:

půdorys 500 x 700 /mm/

výška 1550 mm

hmotnost cca 150 kg

Elektrický proud:

220 V 50 Hz

příkon 0,2 kVA

Elektrický motor

pohonu brousícího zařízení: J3H 54V 220V 90W

1390 ot./min.

Rozměry broušených desek:

- maximální průměr 50 mm

- tloušťka 0,1 až 20 mm

Tabulka I. Počet broušených desek v jedné operaci /při pěti vodících planetárních/ vzhledem k jejich průměru.

Pro rozsah průměrů /mm/	Počet kusů
Ø 22 - Ø 50	5
Ø 18 - Ø 22	15
Ø 18 a menší	20 a více

Výkon stroje: závisí na materiálu broušených desek, rychlosti broušení, přítlačné síle a druhu brusiva.

Přesnost stroje:

Dosažitelná minimální šířka od planparallelity 1 µm.

Dosažitelná tloušťka s tolerancí 1 mm.

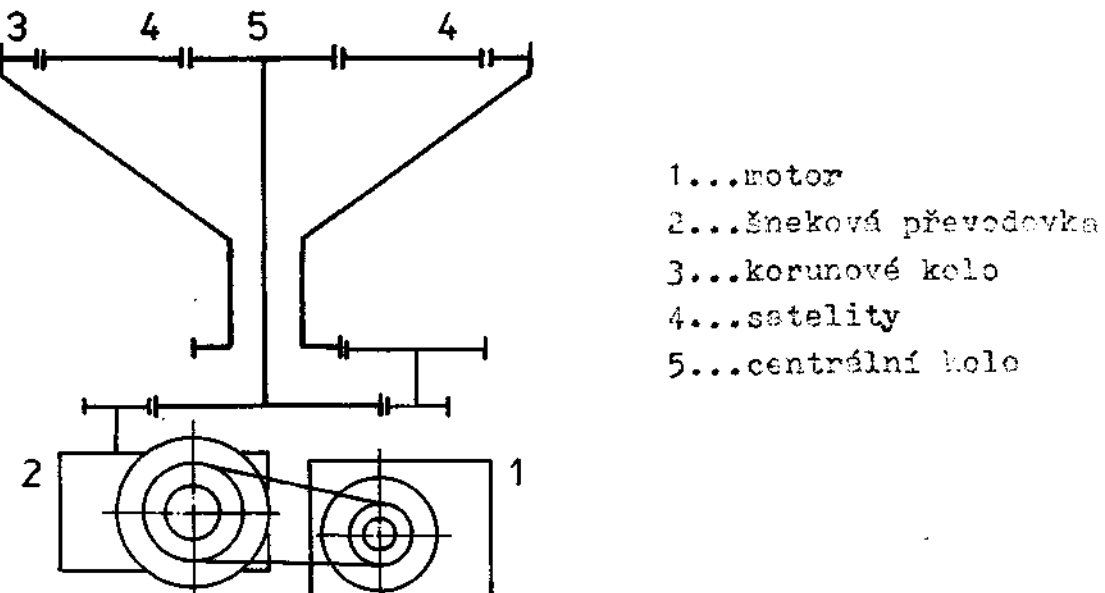
Mezních hodnot přesnosti lze dosáhnout pouze při plném respektování provozních předpisů.

Brousící sílu: je dána hmotností horní desky s připojených dílů. Brousící sílu lze zvětšit přídavnými závažími, která se umisťují na horní brusnou desku.

Hmotnost horní desky z litiny: 2,3 kg

Schéma převodů:

Kinematické schéma je na obr.4.



Obr.4 Kinematické schéma převodů.

Rychlostní stupeň /I, II, III/ se volí na třístupňových řemenicích motoru a šnekové převodovky. Hodnoty otáček pastorku i korunového kola s člukového převodu jsou v tabulce II, kde značí:

- n_{21} ... otáčky hnacího pastorku pohánějícího vodící planetky
- n_{51} ... otáčky korunového kola pohánějícího vodící planetky.

Tabulka II. Otáčky a celkový převod stroje.

Otáčky [min^{-1}]			Celkový převod	
	n_{21}	n_{51}		
I	30	45,9	I	46,4
II	45	68,6	II	30,9
III	65	99,5	III	21,4

Popis stroje:

Broušící stroj se sklédá ze tří vzájemně demontovatelných celků:

- vlastního brusného zařízení s pohonem
- podstavce s odpadní nádobou
- konzoly.

Ukladní funkční částí je brusné zařízení s náhonem. Náhon je proveden elektrickým motorem s třístupňovou řemenicí. Klínovým řeménem je pohyb přenášen na typizovanou šnekovou převodovku a z ní ozubenými čelními koly s šikmým ozubením na vnitřní hnací hřídel a přes předlohu na vřetenec brusného zařízení, uložené na kuličkových ložiskách. Na hřídeli je umístěn pastorek, který je centrálním kolem planetového mechanismu, vyvoujícího lopavecí pohyb. Planetový mechanismus se skládá z korunového kola, hnacího vřetenem s pěti vodicích planetových kotoučů /satelitů/, které jsou vodicími maskami pro broušené desky. Tyto jsou takto vedeny mezi dolní a horní brusnou deskou po cykloidálních drahách.

Horní deska je centrována a proti otáčení zajištěna závorkou. Dolní deska je připevněna na prstenci, jejž je možno vertikálně vysouvat pomocí tří ozubů klouzačících na třech šikmých ozubech základny. Vysouvání se děje pomocí odtačovacího imbusu. Vysouváním se mění výška roviny záběru planet v korunovém kole a hnacím pastorku a zajišťuje se tak rovnoměrné opotřebování ozubených kol a využití celé výšky kol.

Brusná suspenze je dodávána do otvorů horní desky štětcem v určitých intervalech. Opatřené brusivo stéká spolu s odbroušeným materiálem do odpadní nádoby.

Vybrané provozní předpisy:

Parametry přesnosti lze zaručit při dodržení níže uvedených podmínek.

Místění stroje: v čistém, bezprašném prostředí /přípustné rozměry nečistot ve vzduchu menší než jmenovitý rozdíl zrn použitého brusiva/.

Teplota vzduchu: stálá s tolerancí $\pm 2^{\circ}\text{C}$.

Obsluha musí být odborně školena, musí přísně dodržovat technologickou kázeň výroby.

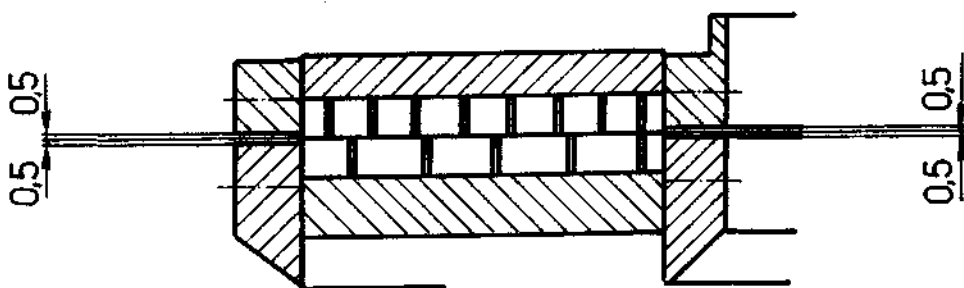
Při jednosměnném provozu stroje je nutno v každé směně rovnávat brusné desky cca 20 minut pomocí rovnávacích kotoučů za přívodu brusiva.

Otvory do planžet pro broušené desky se provádí jí lisováním. Otvory nechť jsou provedeny tak, aby broušené desky přejíždely při broušení přes okraj brusných desek, aby se tedy spotřebovaly rovnoměrně.

Dosažení předepsaných parametrů broušených desek lze předpokládat pokud předchozí operace je provedena s dostatečnou přesností. Nemá být většího rozdílu v tloušťce vkládaných desek. Rozhodně však nesmí být rozdíl mezi nejtlustší deskou a tloušťkou planžety větší než tloušťka nejtenší desky. Při broušení by se totiž tečkové deska vysunula z otvoru planžety a rozdrtila by se.

Rozdíl mezi tloušťkou desek a tloušťkou planžety má být co nejmenší, rozhodně však menší než 30 % tloušťky desky.

Při použití drážkovaných desek je nutno seřídit vzájemný přesah mezi obvodovými prstenci a brusnými deskami. Vzájemný přesah určuje rychlosť odtekání brusiva z prostoru mezi deskami a tím ovlivňuje i rychlosť a jakost broušení. Běžné seřízení přesahu je 0,5 mm - obr.5.



Obr. 5 Seřízení prstenců brusných desek.

1.2.4 Hodnocení současného stavu

Současný způsob broušení na planetové brusce nevyhovuje, to zejména z těchto důvodů:

a/ Nízká produktivita práce /pohybuje se okolo 200 - 300 kusů za hodinu, podle druhu broušeného výpalku/. Je způsobena zejména měřením tloušťky broušeného polotovaru. Tímto měřením totiž vznikají velké časové ztráty a celá doba operace broušení se prodlužuje. Ztrátový čas vzniká konkrétně takto: zastavení stroje, vyjmutí výpalků, jejich opláchnutí a vysušení, změření tloušťky mikrometrem, vložení do stroje, spuštění stroje. To vše se v průběhu každého broušení zkrát opakuje. Dochází tak k situaci, že vlastní broušení je časově kratší než měření tloušťky /včetně pomocných úkonů/.

b/ Nízká kvalita výbrusů a související zmetkovitost 12 %, když povolená je do 3 %. Jedním z důvodů je zase způsob měření tloušťky. Obsluha planetového stroje se ne vždy "trefí" při dobrušování do požadované tolerance, která je dle výkresové dokumentace povolená v rozmezí 0,01 mm.

c/ Strojní zařízení - planetová bruska typ UP 332 - je značně zastaralé /stáří více než 20 let/ a neodpovídá svými parametry současným moderním bruskám.

Všechny tyto nedostatky lze řešit podle mého názoru dvěma cestami:

1/ Výměna brusky UP 332 za novější - vyrábí se planetové
brusky sovětské, bulharské, západoněmecké, japonské i jiné.

2/ Návrh kontinuálního způsobu měření tloušťky výpalků
s vysokou přesností, který by zvýšil produktivitu práce
odstraněním ztrátového času a částečně snížil zmetkovitost
a požadavky na zkušenosť obsluhy. To je náplní diplomové
práce.

2. Možnosti měření délek /1/

Rozměry součástí navrhujeme podle jejich funkce, účelu a konstrukce. Z hlediska funkce a účelu předepisujeme přesnost daných rozměrů. Podle přesnosti musíme volit také měřící zařízení a způsob kontroly.

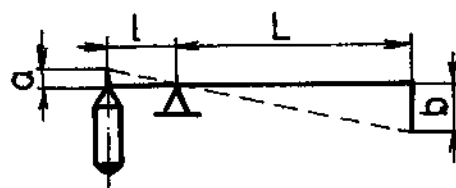
Pro keramické polotovary brusené na planetové brusce UP 333 je požadována přesnost s tolerancí 0,01 milimetru.

Rozbořem měřidel a přístrojů s požadovanou přesností se zabývá tato kapitola.

2.1 Měřidla s převodem pákovým

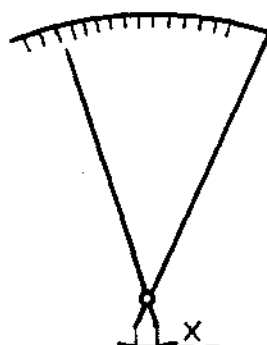
Měřící doteck se dotýká kratšího ramene dvourezené páky a její další rameno ukazuje se zvětšením tento pohyb na stupni. Poměr velkého a malého ramene nazýváme převodovým číslem přístroje /zvětšením/. Podle obr. 6 můžeme psát

$$\text{převod } p_d = \frac{b}{a} = \frac{L}{l}$$



Obr. 6 Princip měřidla s pákovým převodem.

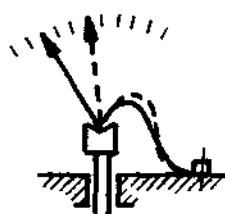
Tento jednoduchý princip je na obr.7 u ručičkového čutinoměru. Nevýhodou tohoto přístroje je uložení pák na válcových čepech, které musí být vyrobeny s určitou výškou. Tato nevýhoda je odstraněna u přístrojů s uložením pák na břítelech.



Obr.7 Ručičkový dutinoměr - princip.

2.2 Měřidla s převodem pružinovým

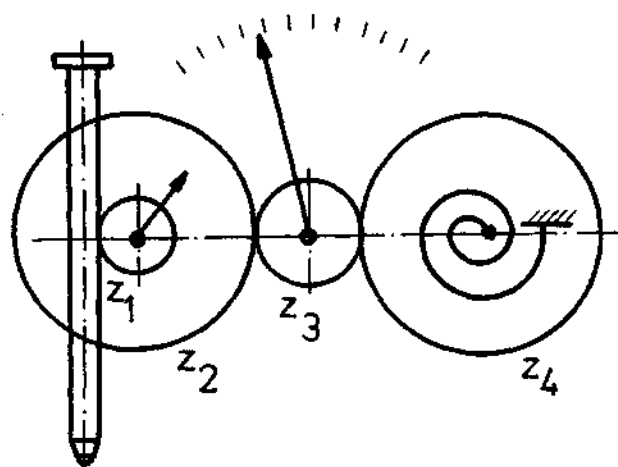
Velmi jednoduché a přitom s velkým převodovým číslem jsou přístroje založené na deformaci pružin. Princip je patrný z obr.8.



Obr.8 Princip měřidla s pružinovým převodem.

2.3 Měřicí přístroje s převodem ozubenými koly a ozubenými segmenty

Velmi rozšířená jsou měřidla - číselníkové údery - která mají převod realizován ozubenými koly. Schéma je naznačeno na obr.9. Na tyče měřicího doteku je ozubený hřeben nebo závit, do kterého zapadá pastorek z_1 . Na ose pastorku je nasazeno kolo z_2 a malá ručka, která ukazuje počet celých otáček velké ručky. Velká ručka je na společné ose s kolem z_3 , které zabírá jak s kolem z_2 tak s kolem z_4 . S kolem z_4 je spojena spirálová pružina, která slouží k vymezení výšky v převodech. Převody jsou voleny tak, aby při zdvihu o 1 mm se otočila velká ručka o 360° . Obvod je dělen na 100 dílků, tedy jeden čílek odpovídá zdvihu doteku o 0,01 mm.

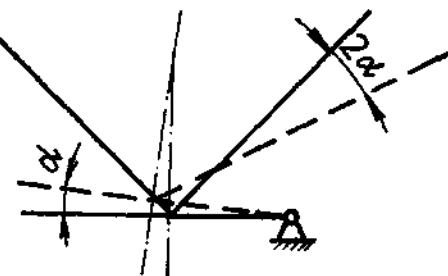


Obr.9 Číselníkový úchylkoměr - princip.

Když ná tyčka měřicího detektu závit - vlastně šnek zahřívající s kolem z_1 , můžeme tyčkou otáčet a tím nastavit i polohu ruček do výchozí nulové polohy. Úchylkoměrem v tomto provedení říkáme úchylkoměry se stavitelnou ručkou. Když je na tyčce hřeben musíme nulu nastavovat potočením stupnice tek, aby kula přišla pod ručku ve výchozí poloze a tyto označujeme jako úchylkoměry se stavitelnou stupnicí.

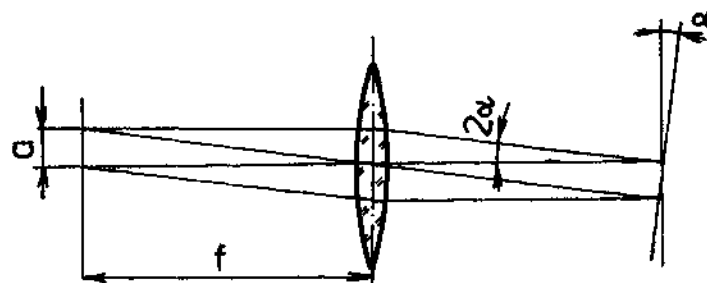
2.4 Přístroje s převodem mechanicko-optickým

U těchto přístrojů se využívá vlastnosti objektivu a výklovného zrcátka. Při dopadu světelného paprsku na zrcátko se odraží paprsek tak, že úhel odrazu se rovná úhlu dopadu. Jako je vidět na obr.10 vychýlením zrcátka o úhel α vychýlí se paprsek o 2α .



Obr.10 Dopad paprsku na zrcátko.

Umístíme-li světelný zdroj do ohniska objektivu, který vytváří rovnoběžný svazek paprsků, pak můžeme odrazem v zrcátivu tyto paprsky v případě, že zrcátko je kolmé na osu objektivu soustředit opět do ohniska. Využitím zrcátka s úhlem α , jak je vidět na obr.11, soustředí se paprsky v bodě vzdáleném od ohniska o hodnotu $a = f \cdot \tan \alpha$, kde f = ohnisková vzdálenost.



Obr.11 Princip přístroje s převodem opticko-mechanickým.

Na tomto principu jsou založeny přístroje, které označujeme jako optimetry a optotesty.

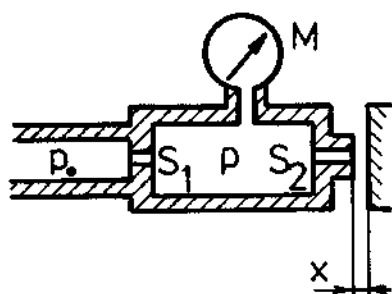
2.5 Přístroje s převodem pneumatickým

Pneumatické přístroje pracují na tom principu, že tlakový vzduch vytékající z dýzy proudí proti měřené součásti a změnou rozměru se mění mezera mezi součástí a dýzou a tedy i průtočný průřez - takto pracují přístroje bezdotykové, nebo je průtočný průřez závislý na pohybu měřicího doteku - takto pracují přístroje dotykové.

Změnou rozměru měřené součásti dochází tedy ke změně průřezu, a to se projeví buď změnou tlaku, průtočného množství nebo rychlosti proudícího média.

Přístroje pracující na změně tlaku jsou schematicky znázorněny na obr.12. Vzduch o konstantním tlaku p_0 proudí přes dýzu o průřezu S_1 do komory a pak dýzou o průřezu S_2 . Tlak p v komoře měříme manometrem M. Když umístíme před dýzu S_2 ve vzdálenosti x měřenou součást, můžeme uvažovat, že vzduch proudí z komory vlastně pláštěm válce o průměru otvoru dýzy D_2 a výšce x . Změnou rozměru součásti se mění vzdálenost x a

Tedy i průtočný průřez. Změna ovšem bude možná jenom dříve, než plocha pláště válce bude menší než plocha otvoru dýzy.



Obr. 12 Princip přístroje pro výjíceho měření tlaku.

$$\text{Tedy: } \pi \cdot D_2 \cdot x = \frac{\pi}{4} \cdot D_2^2$$

můžeme tedy měřit jenom do

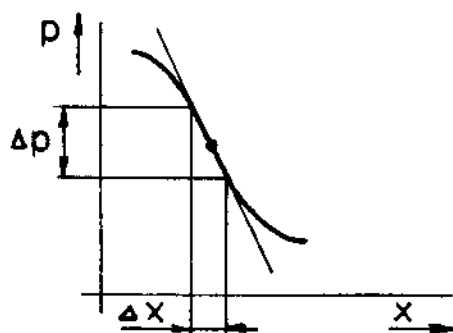
$$x = \frac{1}{4} D_2^2 \cdot$$

Vlivem kontrakce v dýze a mazle bude skutečný průřez proti vypočtenému krát menší. (τ = součinitel kontrakce).

Tlak v komoře je závislý na poměru průřezů S_1 a S_2 .

$$P = \frac{P}{1 + \left(\frac{\tau_1 S_2}{\tau_2 S_1} \right)^2}$$

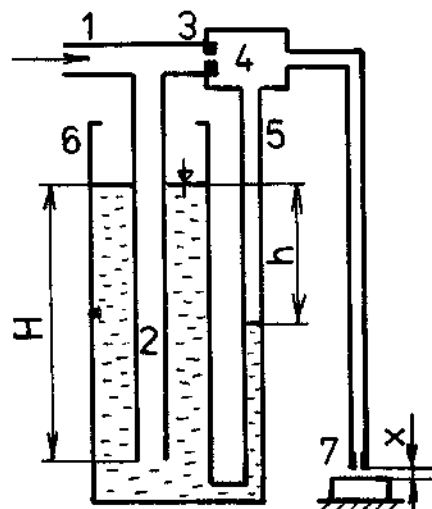
Průběh tlaku p na vzdálenosti x je naznačen na obr. 13.



Obr. 13 Závislost tlaku p na vzdálenosti x .

Přístroje pracující na změně tlaku můžeme rozdělit na nízkotlaké a vysokotlaké.

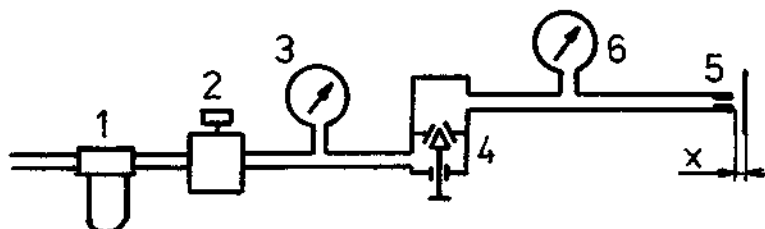
Známým představitelem nízkotlakých přístrojů je přístroj SOLEX, jehož schéma je na obr. 14. Je to zařízení s jedním tlakem a vodním manometrem. Tlakový vzduch je přiváděn trubkou 1, která je částí 2 ponořena do vody ve skleněné výlci na



Obr. 14 Přístroj SOLEX.

klobouku 3. Bude tedy v trubce tlak rovný výšce li vodního sloupce /bývá 500 nebo 1000 mm/. Vzduch o tomto konstantním tlaku pak proudí tryskou 3 do komory 4, která je spojena se skleněnou trubicí 5. Tato tvoří vlastní vodní manometr, kterým měříme tlak v komoře, a to rozdílem hledin ve výlci 6 a v trubici 5. Z komory 4 je vzduch veden k měřící trysce 7.

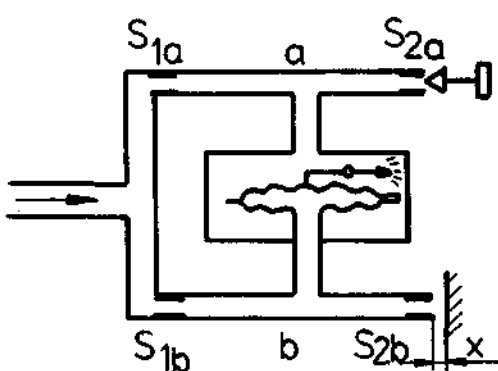
Vysokotlaké měřící přístroje pracují s tlakem $0,2 - 0,3 \text{ MPa}$. Zjednodušené schéma je na obr. 15. Vzduch o vstupním tlaku sei



Obr. 15 Vysokotlaký přístroj - princip.

0,4 MPa je veden přes filtr 1 do regulátoru tlaku 2, který udržuje předepsaný konstantní tlak, jehož velikost kontrolujeme manometrem 3. Vzduch pak dále proudí přes staviteľnou dýzu 4 do měřicí dýzy 5. Tlak moži staviteľnou s měřicí dýzou udává měřicí manometr 6.

Aby se vyloučil vliv změny atmosférického tlaku, používají se přístroje s diferenciálním zapojením. Schéma je na obr. 16.

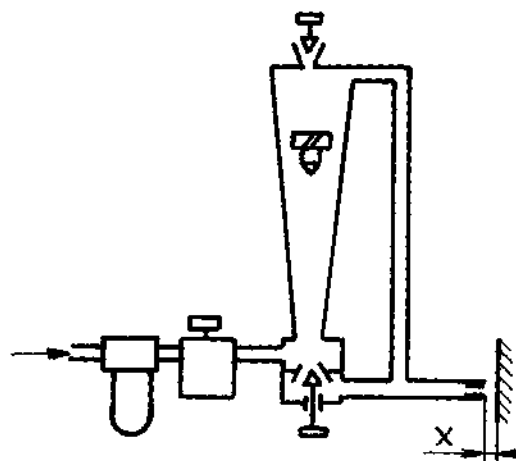


Obr. 16 Přístroj s diferenciálním zapojením.

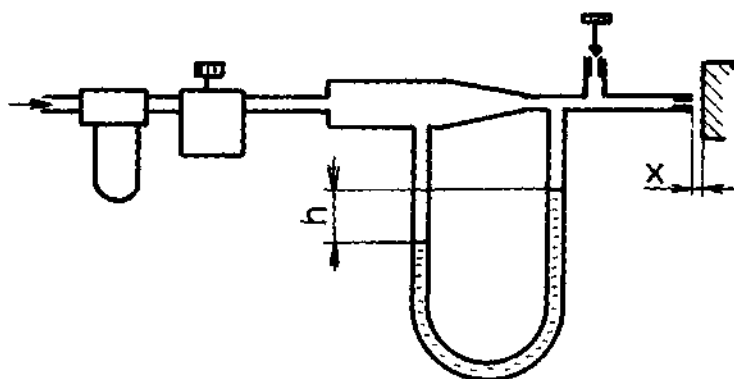
Vzduch o konstantním tlaku p_1 proudí přes trysku S_{1a} do větve a, z které pak srovnávací tryskou S_{2a} do ovzduší. Tryskou S_{1b} proudí vzduch o stejném tlaku p_1 do větve b a do měřicí trysky S_{2b} . Rozdíl tlaku ve větvi a a b se snímá diferenciálním manometrem.

Přístroje založené na změně průtokového množství jsou obvykle provedeny tak, že vzduch proudí k měřicí trysce přes skleněnou kuželovitou trubici, ve které se volně pohybuje "plováček" z lehkého kovu, který je nadnášen proudícím vzduchem. Plováček se ustálí v takové výšce, aby mezera mezi plováčkem a trubicí odpovídala potřebnému průtočnému průtoku pro množství vzduchu protékající měřicí tryskou. Schéma přístroje tohoto typu je na obr. 17.

Přístroje pracující na změně rychlosti proudícího vzduchu jsou založeny na principu Venturiho trubice jak je naznačeno na obr. 18. Proto jsou někdy tyto přístroje označovány jako Ventometry.



Obr. 17 Přístroj salcený na základě průtoku vody v trubici.



Obr. 18 Ventometr.



Obr. 19 Amplifikator.

Dosud popsané přístroje pracovaly bez dotečku, tj. tam, kde proudil z měřicí trysky přímo na měřený přeliv.

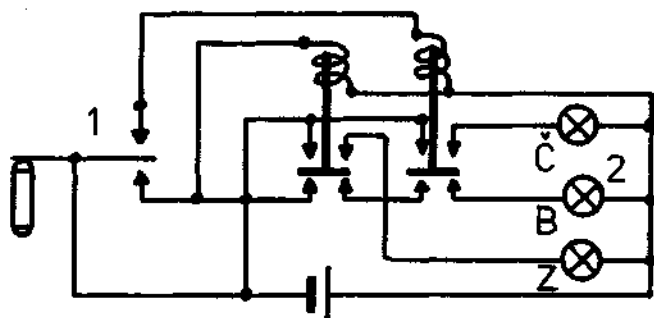
Při měření dotykovém se používá tzv. amplifikátor, u kterého měřicí dotek při pokybu změnou polohy zwětlívce nebo menšíje průtočný průřez na trysce S, obr. 19.

2.6 Přístroje s převodem elektrickým

Měřicí přístroje elektrické pracují na principu tlaku, tepla, odporu, kapacity a gelobně.

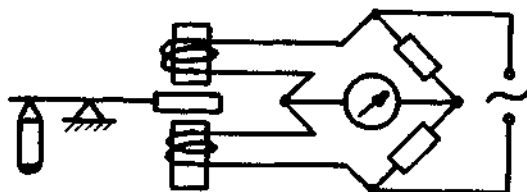
Nejjednodušší jsou přístroje elektrickotaktní, u kterých se měřicím dotečem ovládají kontakty 1 tak, že se napojuje na obvod žárovky L. Při střední poloze kontaktu svítí žárovka "M" a

při horní poloze zelené a při dolní červené. Schéma elektrického zapojení je na obr.20



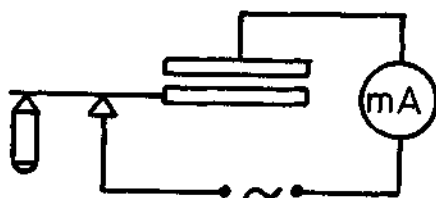
Obr.20 Princip zapojení elektrokontaktního přístroje.

Dalším typem přístrojů s převodem elektrickým jsou přístroje induktivní. Pohyb měřicího doteku se přenáší na jádra cívek, nebo na kotvu a mění se tím indukčnost cívek. Schematické zapojení je naznačeno na obr.21.



Obr.21 Princip zapojení induktivního přístroje.

Někteří výrobci měřicích zařízení vyrábí přístroje s převodem kapacitním. Pohybem měřicího doteku se mění vzdálenost desek kondenzátoru a tím i jeho kapacita. Zapojení je na obr.22.

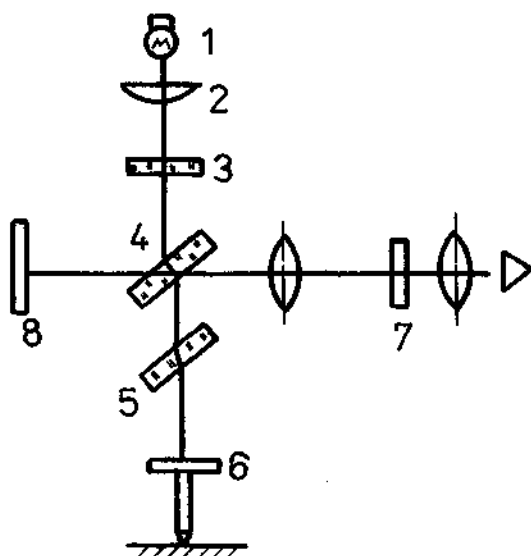


Obr.22 Princip zapojení kapacitního přístroje.

2.7 Měření s využitím interference

K velmi přesnému měření délek můžeme využít interference světla, tj. schopnosti světelných vln vzájemně se skládat. Interference nastává tehdy, setká-li se v témže bodě několik periodických kmitů, které mají stejné periody a konstantní, na čase nezávislé fázové rozdíly. Pro zajištění interference musíme použít světlo vycházející z téhož světelného zdroje rozdělené na dvě světelné vlny. Rozdělíme-li světelný paprsek např. odrazem a lomem na dva, můžeme každý vést jinou cestou, tedy různě dlouhou dráhou, než je zase spojíme. Do místa spojení mohou vlny přijít fázově posunuty. Když uvežujeme světlo jako vlnění je tedy interference zvláštní případ skladby periodických pohybů.

Měřící přístroje založené na principu interference jsou označovány jako interferenční komparátor. Tyto pracují buď bezdotykově, kdy paprsky dopadají přímo na měřenou plochu, nebo s doteckem spojeným se zrcátkem jak je znázorněno na obr. 23.



Obr.23 Interferenční komparátor.

Paprsek ze zdroje 1 prochází přes kondenzor 2 a filtr 3 na destičku 4, kde se dělí. Část jde dále přes kompenzační

destičku 5 na zrcátko ovládané měřicím doteckem 6. Paprsek se odrazí a vraci zpět. Druhá část paprsku z destičky 4 jde na zrcátko 8, kde se také odrazí a jde zpět. Oba paprsky po odražení spojí, interferují a pozorujeme je na destičce se stupnicí 7. Skloněním zrcátka 8 kolem vodorovné nebo svislé osy můžeme měnit šířku a polohu interferenčních proužků.

2.8 Hodnocení metod, měřidel a přístrojů

Při hodnocení uvedených metod, měřidel a přístrojů musíme brát v úvahu zejména jejich přesnost a způsob použití.

Přesnost použitého měřícího zařízení by měla být 10 krát větší než tolerance měřeného objektu.

Měřící zařízení bude určeno k měření tloušťky keramických výpalků /resp. vzdálenosti horní a dolní brusné desky/ u planetové brusky UP 333.

Další požadavky na měřidlo:

- možnost kontinuálního snímní rozměrů
- bezdotykové /případně dotykové/
- nízká cena
- co nejméně zásahů do brousicího stroje při instalaci měřidla

Tyto požadavky nejvíce splňují přístroje pneumatické, jejichž výhody jsou následující:

- přesnost až $0,1 \mu\text{m}$
- nízká cena
- jednoduchá konstrukce
- hygienická nezávadnost
- nezávislost údajů měřiče na chemickém složení měřeného objektu
- umožňují plynulé sledování tloušťkových změn
- ve spojení s pneumaticko-elektrickým převodníkem umožňují signalizaci překročení mezních tolerancí

Ostatní měřidla a přístroje splňují výše uvedené požadavky v menší míře.

3. Varianty řešení

Uvádí dve varianty měření tloušťky keramických polotovarů na planetové brusce UP 333.

a/ Přímé měření tloušťky.

b/ Měření tloušťky pneumaticky.

3.1 Přímé měření tloušťky v procesu broušení 141

Přímé měření tloušťek destiček během broušení zvyšuje přesnost měření.

Obvyklá měřidla tloušťek pro sledování tloušťky součástek v planetových bruskách jsou vhodná pro mnoho aplikací v polovodičovém a elektronickém průmyslu. Tato měřidla neměří opracované kusy během broušení přímo, ale spočívají na odstupu vzdálenosti mezi povrchy brusného stroje. Výsledkem je, že měření tloušťky během broušení je ovlivněno odlišným použitím brusné suspenze a opotřebováním horní a dolní brusné desky.

Automatický sledovač broušení /ALC - vyrobený Transat Corporation/ překonává tyto potíže tak, že elektronicky přímo měří opracované kusy během broušení.

Sledovač byl vyvinut před několika roky pro broušení piezoelektrických látek. Byl užit pro automatické sledování tloušťek s tolerancí pod 0,05 mm. V roce 1983 byla zavedena nová varianta /model ALC-S/ pro broušení látek jiných než krmen.

Metoda měření je založena na piezoelektrickém jevu délky. Piezoelektrická látka jako je krmen mění své rozměry, jestliže působí na její povrch elektrickým signálem. Odezva je velmi silná, jestliže je kmitočet signálu tutožný s mechanickým rezonančním kmitočtem dané části. Tento rezonanční kmitočet lze elektricky měřit a je známou funkcí rozměru. Pro použití na broušení piezoelektrických látek je třeba zaly krmený kontrolní disk, který je zabraňován společně s opracovanými kusey.

3. Varianty řešení

Uvádím dvě varianty měření tloušťky keramických solátovarů na planetové brusce UP 333.

- a/ Přímé měření tloušťky.
- b/ Měření tloušťky pneumaticky.

3.1 Přímé měření tloušťky v procesu broušení /4/

Přímé měření tloušťek desetiček během broušení zvyšuje přesnost měření.

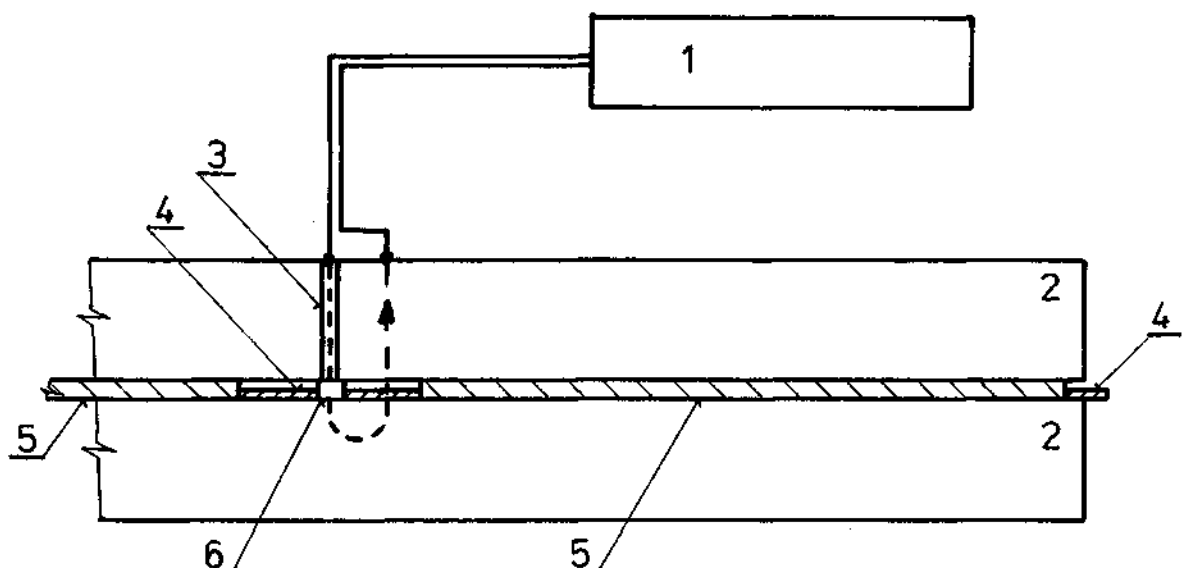
Obvyklá měřidla tloušťek pro sledování tloušťky součástek v planetových bruskách jsou vhodná pro mnoho aplikací v polovodičovém a elektronickém průmyslu. Tato měřidla neměří opracovávané kusy během broušení přímo, ale spočívají v měření vzdálenosti mezi povrchy brusného stroje. Výsledkem je, že měření tloušťky během broušení je ovlivněno odlišným použitím brusné suspenze a opotřebováním horní a dolní brusné desky.

Automatický sledovač broušení /ALC - vyrobený Transat Corporation/ překonává tyto potíže tak, že elektronicky přímo měří opracovávané kusy během broušení.

Sledovač byl vyvinut před několika roky pro broušení piezoelektrických látek. Byl užit pro automatické sledování tloušťky s tolerancí pod 0,05 µm. V roce 1983 byla zavedena nová varianta /model ALC-S/ pro broušení látek jiných než křemen.

Metoda měření je založena na piezoelektrickém jevu délky. Piezoelektrické látka jako je křemen mění své rozměry, jestliže působíme na její povrch elektrickým signálem. Obracej je velmi silná, jestliže je kmitočet signálu tetožný s mechanickým rezonančním kmitočtem dané části. Tento rezonanční kmitočet lze elektricky měřit a je známou funkcí rozměru. Pro použití na broušení nepiezoelektrických látek je třeba malý křemenný kontrolní disk, který je zařušován společně s opracovávanými kusy.

Obr.24 znázorňuje náčrtek planetárního troušťového stroje a instalaci sledovače. Mezera mezi dvěma brusnými deskami je



Obr.24 Připojení sledovače k brusce.

- 1 ... automatický sledovač ALC
- 2 ... brusná deska
- 3 ... elektroda
- 4 ... planetka
- 5 ... silikónová destička
- 6 ... kontrolní destička

vyplňena silikónovými destičkami, planetkami, piezoelektrickou kontrolní destičkou a brusnou suspenzí. Vloží se elektroda a izoluje se. ALC-S posílá signál, který postupuje po čírkované dráze kontrolní deskou s zpět přípojkou do kontrolní jednotky desky spojené s brusnou deskou /uzemněnou/. Průtok signálu je modulován knitočtem tloušťkové rezonance kontrolního disku. Vztah rezonančního knitočtu kontrolního disku a jeho tloušťky je

$$t = \frac{K}{f_r} ,$$

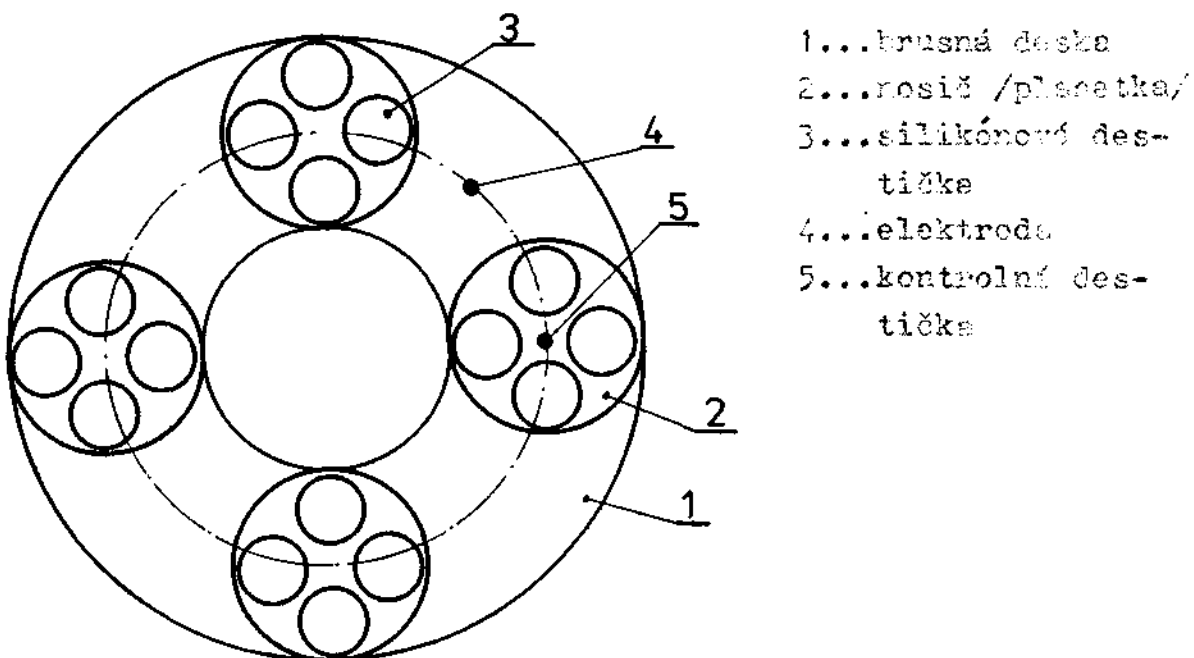
kde t ... tloušťka /um/

f_r ... rezonanční knitočet /MHz/

$$K = 1,36 \cdot 10^2 \text{ pro } \text{řev} \text{ km}^{-1}$$

ALC-S měří rezonanční kmitočet f_r , pro nějž může obruba stanovit referenční kmitočet f_t . Když $f_r = f_t$, ALC-S posílá kontrolní signál, který způsobí zastavení brusnicího stroje.

Nosiče se pohybují planetárním pohybem /otáčejí se kolem vlastní osy a zároveň kolem osy brusné desky/ takovým způsobem, že kontrolní deska se dotkne elektrody jednou na oběh kolem osy brusné desky - viz obr.25. V ten okamžik se změní kmitočet f_r kontrolní desky.

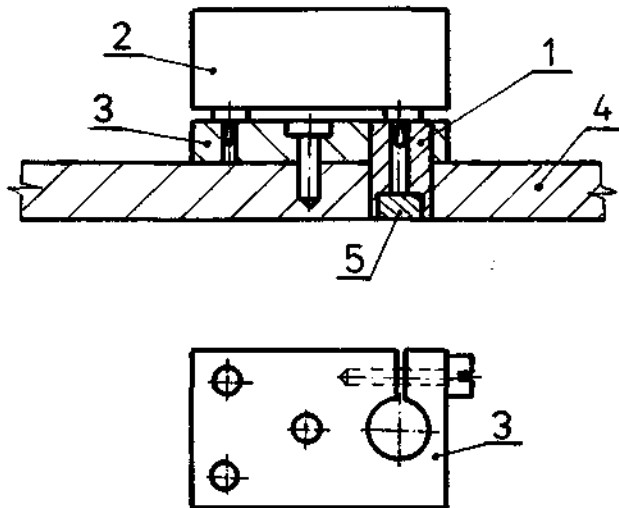


Obr.25 Brusná deska s nosiči.

Jestliže vložíme kontrolní destičku do každého z nosičů, můžeme pomocí ALC-S sledovat rozdíly v tloušťkách mezi skupinami destiček v různých nosičích. Tato hodnota úzce souvisí se vadnou tloušťkou v závislosti na celkové zátěži desek.

ALC lze snadno přizpůsobit existujícím planetovým bruskám. Do jedné z brusných desek je vyvrtán otvor, obr.26. Do něho je vložena elektroda 1 /o průměru asi 15 mm/. Elektroda je připojena k ALC prostřednictvím sondy 2 s jejího připojovacího ko-

kabelu. Sonda je zastrčena do elektrody a zapojovací desky 3. Ta udržuje elektrodu na místě. Je 6 mm silné a není ji třeba



Obr.26 Připojení sondy a elektrody k brusné desce.

pro silné brusné desky, kdy elektroda může být držena stávěcím šroubem. Zapojovací /montážní/ deska je přišroubována k brusné desce 4. Elektroda mezi keramickou vložkou 5 je umístěna v rovině s broušeným povrchem. Elektroda může být jak na horní tak i na dolní brusné desce. Pro broušení s rotujícími brusnými deskami se na desku nemontuje sběrací kroužek a zapojí se mezi sondu a ALC-S.

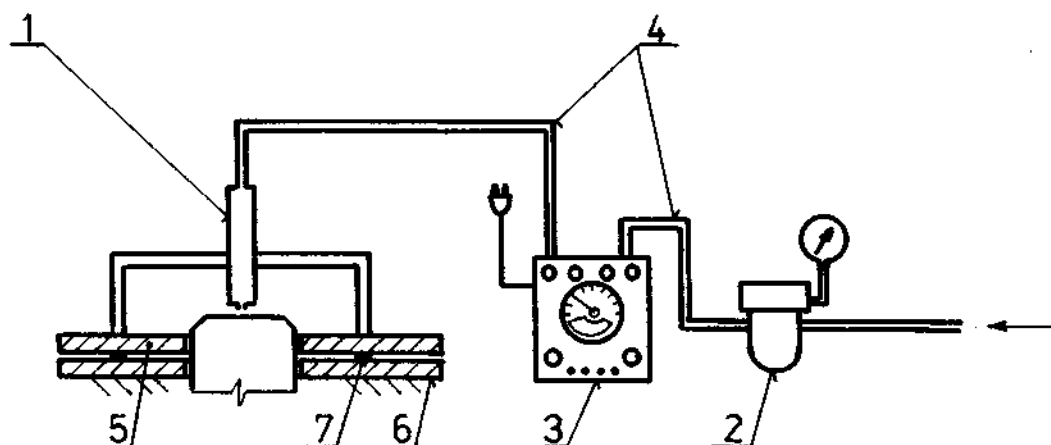
ALC-S pracuje v rozsahu 43 W/z. Je zmenšen požadavek na zručnost obsluhy a díky automatizaci a vysoké výtěžnosti se znásobuje produktivita práce; jedním ALC-S lze řídit více planetových brusek. ALC lze použít v těchto oblastech:

- broušení piezoelektrické keramiky
- broušení nepiezoelektrických látek
- leštění.

3.2 Měření tloušťky pneumaticky

Pneumatické přístroje mají ve strojírenství rozsáhlé použití. Pracují dotykově či bezdotykově. Umožňují kontinuálně měřit rozměr broušeného předmětu.

Schéma navrhovaného uspořádání je na obr.27.



Obr.27 Navrhované uspořádání k pneumatickému měření.

- 1...měřící tryska
- 2...miniaturní filtr-regulátor
- 3...automatický regulátor
- 4...vzduchová hadice
- 5...horní brusná deska
- 6...dolní brusná deska
- 7...broušený polotovar

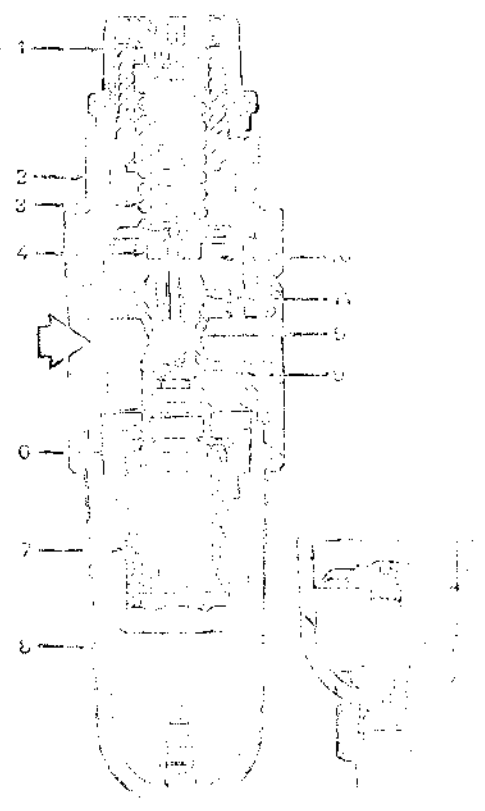
Činnost miniaturního filtru-regulátoru a automatického regulátoru je popsána dále.

Miniaturní_filtr-regulátor /6/

Filtr-regulátor vykonává dvě funkce v systému stlačeného vzduchu:

- a/ odstraňuje ze stlačeného vzduchu většinu kapalin a tuhých částic
- b/ udržuje výstupní tlak téměř na konstantní úrovni bez ohledu na změny ve vstupním tlaku a požadavky na průtok.

Vzduch, který vstupuje do tohoto filtru-regulátoru (obr.28),



Obr.28 Filtr-regulátor.

je veden žaluziemi č do vířivé části. Hrubé tuhé částice a kapalina jsou hnány odstředivou silou ke stěně nádrže 8 a klesají ke dnu. Nahrnomáčná kašelina může být vypouštěna ručně nebo automaticky. Automatické výpust se uvede do provozu, jestliže se objeví rychlá snížna průtoku filtrem-regulátorem. Vzduch vycházející z nádrže prochází filtrovaným článkem 7, kde se zadrží větší a jemnějších tuhých částic. Čistý vzduch stoupá od tohoto článku k regulačnímu ventilu 5.

Výstupní tlak se řídí střevčím kolíkem 1. Otáčením ve směru hodinových ručiček se zvyšuje výstupní tlak a otáčením proti směru hodinových

se snižuje. Jestliže se knoflíkem 1 otočí zcela proti směru hodinových ručiček, nepůsobí na regulační pružinu 3 řádná síla a ventil 5 je udržován v uzavřeném stavu ventilovou pružinou 9. Otáčení knoflíkem 1 ve směru hodinových ručiček stlačuje regulační pružinu 3, která tlačí směrem dolů na vršek membrány s ventilovým kolíkem 4. Membrána s ventilovým kolíkem 4 je stlačována dolů a otvírá sedlo ventilu, které umožňuje, aby vzduch protékal filtrem-regulátorem do průtokového systému.

Výstupní tlak v průtokovém systému a snímací komoře 10 vznáší a působí silou na spodek membrány. Membrána s ventilovým kolíkem 4 a ventil 5 se pohybují vzhůru a stlečují regulační pružinu 3. Pohyb ustane, jestliže síly pod membránou jsou v rovnováze se silami nad membránou. Jestliže není poža-

dován průtok, nastane rovnováha sil při zavřeném ventilu 5. Jesliže je průtok požadován, nastane rovnováha sil tehdy, když se ventil otevře natolik, aby uspokojil daný požadavek, čímž je udržován žádoucí výstupní tlak.

Filtry-regulátory uvolňovacího typu.

U uvolňovacích filtrů-regulátorů může být výstupní tlak redukován, i když je systém uzavřen. Jestliže se stavěcím kolíkem 1 otočí proti směru hodirových ručiček, zmenší se síla působící na regulační pružinu 3 a tlak vzduchu ve snímací komoře 10 zdvíhá membránu s ventilem kolíkem 4. Tento pohyb vzhůru otvírá uvolňovací kanálek 11 ve ventilem kolíku a umožňuje, aby vzduch unikl výstupní stranou filtru-regulátoru uvolňovacím kanálkem 11 a krytem 2 do ovzduší. Když výstupní tlak vzduchu klesne na nastavenou zmenšenou hodnotu, membrána se pohně směrem dolů a uzavře uvolňovací kanálek.

Membrána se stejným způsobem zdvíhne jako reakce na vzrůst výstupního tlaku nad nastavenou hodnotu, čímž se umožní snížení vzduchu do ovzduší, jak je popsáno výše. Avšak průtoková kapacita uvolňovacího kanálku je omezena a v závislosti na zdroji přetlakových podmínek by mohl výstupní tlak vzrůst za hodnotu značně vyšší než je nejvyšší nastavovací hodnota regulátoru. Z těchto důvodů se nesmíme spoléhat na uvolňovací schopnost filtru-regulátoru jako na ochrenu proti přetlaku.

Filtry-regulátory neuvolňovacího typu.

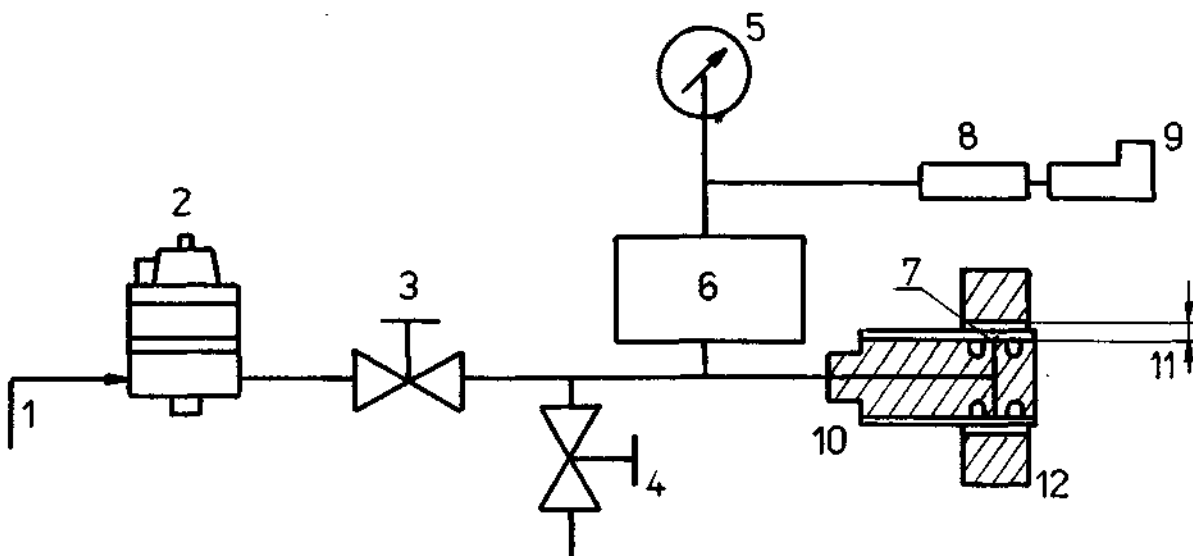
U neuvolňovacích filtrů-regulátorů nemůže být výstupní tlak redukován, jestliže je systém uzavřen. Filtr-regulátor neuvolňovacího typu je shodný s uvolňovacím typem s tou výjimkou, že ventilem kolík není opatřen uvolňovacím kanálkem 11. Ten-to typ filtru-regulátoru neuvolňuje výstupní tlak vzduchu způsobem popsáným u filtrů-regulátorů uvolňovacího typu a může být opatřen jinými prostředky uvolňování výstupního tlaku vzduchu.

Tyto filtry-regulátory jsou určeny pouze pro použití v průmyslových systémech stlačeného vzduchu. Nesmí být použity, když by tlak nebo teplota mohly být vyšší než provozní podmínky.

Automatický regulátor /S/

Automatický regulátor /model 88/ je modulární typ přístroje, kterého se používá k automatickému měření a kontrole rozvěru obrobku. Regulátor se dodává jako panelová sestava nebo ve skříňce, se seřiditelným nebo fixním omezením. Regulátor /S/ se seřiditelným omezením se užívá především v zařízení pro automatickou kontrolu. Proměnné omezení umožňuje seřizovat zvětšení. Regulátory /F/ s fixním omezením /jehlový ventil/ je nahrazen fixním omezením/ se používají nejméně pro ovládání strojů.

Na obr.29 je znázorněn základní okruh užívaný na modelu 88.



Obr.29 Základní okruh regulátoru 88.

- 1...přívod vzduchu
- 2...tlakový regulátor
- 3...jehlový ventil
- 4...nulový jehlový ventil
- 5...tlakoměr
- 6...zesilovač nebo zesilovací relé
- 7...tryska

8...přesné relé

9...tlakoelektrický spínač

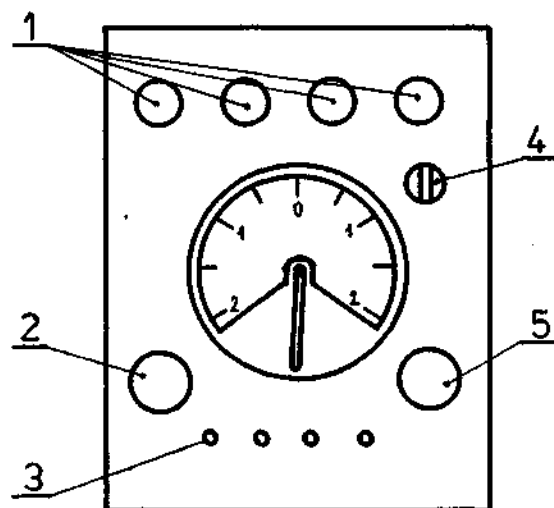
10...válečkový kalibr /nebo jiné měřidlo/

11...válečky trysky

12...obrobek nebo etalon

Přívod filtrovaného vzduchu je regulován na konstantní tlak mezi 0,4 - 1 MPa a je veden do tlakového regulátoru, který reguluje tlak pro měření na 0,3 MPa. Tlak pro měření je dělán do měřicího okruhu speciálně konstruovaným jehlovým ventilem. Vzduch tohoto měřicího okruhu proudí tryskou do měřicího dílu a jehlového ventilu s nastavitelnou nulou. Když je díl v poloze měření, tok vzduchu je skrze měřicí trysku částečně blokován. Toto záblokování vyvolá v měřicím okruhu zpětný tlak a je vstupem do zesilovače /nebo zesilovacího modulu/. Výstup ze zesilovače se zobrazuje na tlakoměru a je vstupním tlakem do přesného relé. Toto relé je v podstatě pneumatickým spínačem, který se zavírá a otevírá podle okamžitého vstupního tlaku. Výstup přesného relé ovládá dvoupólový, přepínací tlakoelektrický spínač, kterého se používá pro indikaci nebo pro účely ovládání.

Na obr.30 je znázorněn panel ovládání automatického regulátoru 88.



- 1...kontrolní světla
- 2...knoflík na seřizování rozpětí
- 3...tlakový spínač
- 4...spínač "běh"
- 5...knoflík na seřizování nuly

Obr.30 Ovládací panel regulátoru.

Automatický regulátor /model 88/ má tedy v podstatě tuto funkci: při dosažení požadované tloušťky výbrusu /s tolerencí 0,01 mm/ dát signál pro obsluhu a současně vypnout krouzicí stroj. Signál je světelný /rozsvícení žárovky/ i zvukový.

Cejchování regulátoru počítává ze dvou úkonů:

- nastavení vypínačích bodů tlakoelektrického spínače
- nastavení pneumatického okruhu s použitím etalonu nebo výbrusů známých rozměrů.

Pro měření a bezchybnou funkci modelu 88 je nutné přivést pouze suchý a čistý vzduch a pravidelně čistit měřicí přípravek.

3.3 Výběr optimální varianty

Výběr optimální varianty jsem provedl metodou rozhodovací analýzy. Ta umožňuje hodnocení z hlediska kvantifikovatelných a jinými metodami nekvantifikovatelných kritérií. Postihuje jak užitné vlastnosti, tak i rizika. Účelně spojuje přednosti empirického a exektního rozhodování. V praxi nám pomáhá vyložit méně vhodná řešení.

Základní struktura rozhodovací analýzy

Sestavení souboru kritérií	Sestavení souboru rizik
Párové srovnání kritérií	Párové srovnání rizik
Matice hodnocení užitnosti alternativ	Matice hodnocení rizik
Užitnost celkem v absolutním vyjádření	Rizika celkem v absolutním vyjádření
Užitnost v relativním vyjádření	v relativním vyjádření
Pořadí podle užitnosti	Pořadí podle rizik
Volba optimální varianty	

Sestavení souboru kritérií

Soubor kritérií by měl zahrnovat: kritéria obecných vlastností, kritéria výrobně-technická, ekonomická, prostorové a časové kritéria.

Vybral jsem tyto kritéria: spolehlivost, přesnost měření, cena, spotřeba energie, univerzálnost a zásahy do výrobního stroje.

Párové porovnání kritérií

Z trojúhelníku párů se stanoví řetěz výskytu každého z kritérií.

Matice hodnocení užitnosti alternativ

Optimu každého kritéria je přiřazeno 100 bodů ve stobodové stupnici. Pokud je jednotlivé alternativy nedosahují, byly odhadem ohodnoceny. Míra splnění kritéria je vyjádřena v %, tj. opět ve stobodové stupnici. Vynásobením prostých hodnot vektoru příslušného kritéria získáme hodnotu vážené užitosti. Suma hodnot kritérií vyjadřuje užitnou hodnotu každé alternativy. Vydělením této hodnoty maximálním počtem bodů /fiktivní alternativa splňuje všechna kritéria na 100 %/ získáme relativní vyjádření užitnosti /v %/.

Hodnocení rizik

Rizikem se rozumí pravděpodobnost výskytu nepříznivých jevů, které mohou ohrozit realizaci rozhodnutí. Jako riziko jsem vybral nepřidělení devizových prostředků. U rizik se postupuje při hodnocení stejně jako u užitnosti.

Vlastní postup volby optimální varianty je znázorněn v tabulce III. Varianta A značí měření tloušťky pneumaticky, variante B přímé měření tloušťky pomocí přístroje AIC-S.

Výpočet užitnosti v rel. vyjádření je proveden takto:

$$\text{užitnost v rel. vyjádř.} = \frac{\text{užitnost v abs.vyjádř.ver.A/B}/100}{\text{užitnost v abs.vyjádř.var.X}}$$

Tabulka III. Volba optimální variante

párové srovnání kritérií		matice užitnosti alternativ					
dilčí kritéria		X			A B		
název	před.	počet voleb	pořadí výběr.	hodnota	prostá včž.	prostá včž.	hodnota
sgolehlivost	1	5	1	6	100	60	480
dřesnost	2	4	2	5	100	500	90
cena	3	3	3	4	100	400	80
energet. nároky	4	2	4	3	100	300	75
univerzálnost	5	1	5	2	100	200	60
záležky do výr. stroje	6	0	6	1	100	100	75
užitnost v absolutním vyjádření					2100	1570	1465
užitnost v relativním vyjádření					100%	75%	70%
pořadí alternativ dle užitnosti					I.	II.	
párové srovnání rizik		matice rizik alternativ					
nepříznivé jevy		X		A	B		
nepřidělení čeviz	1	1	1	100	100	20	80
rizika v absolutním vyjádření				100		20	80
rizika v relativním vyjádření				100%	20%		80%
pořadí alternativ dle rizik				I.	II.		
výsledný efekt / užitnost minov. rizika/				55%	-10%		
pořadí alternativ				I.	II.		

$$\text{Var. A: } \frac{1570 \cdot 100}{2100} = 75 \%$$

$$\text{Var. B: } \frac{1465 \cdot 100}{2100} = 70 \%$$

Výpočet výsledného efektu:

výsledný efekt = užitnost v rel. vyjádř. var. A/B - rizika A/B

$$\text{Var. A: } 75 - 20 = 55 \%$$

$$\text{Var. B: } 70 - 80 = -10 \%$$

Z tabulky III. a z výpočtů vyplývá, že varianta A - měření tloušťky pneumaticky - je výhodnější. V neprospech varianty B rozhodlo především riziko nepřidělení devizových prostředků.

I přes mou veškerou objektivitu je volba optimální varianty pouze subjektivním názorem. K eliminaci subjektivního názoru by došlo účastí pracovního týmu v posuzování variant.

4. Rozpracování zvolené varinty

Rozpracování zvolené varinty - měření tloušťky pneumatický - zahrnuje návrh držáku trysky s vlastní tryskou. Požadavky na držák a trysku jsou tyto:

- výrobu jednotlivých částí držáku provést obráběním /půjde o kusovou výrobu/
- vyrobit držák z dostupných materiálů
- držák upnout k horní brusné desce
- horní brusnou desku s držákem zajistit proti otáčení
- umožnit velmi jemnou regulaci posuvu trysky
- zajistit blokování poloh trysky
- umožnit výměnu trysky.

Držák s tryskou je nakreslen na výkresce 124/87-00-00 jeho sestava. Zahrnuje 26 pozic, které jsou uvedeny v kusevníku. Součásti z pozic 1 až 9 jsou nakresleny jako výrobní výkresy. Jedná se o rameno 1, desku 2, pouzdro 3, nosník 4, objímku se závitem 5, šroub 6, kryt 7, trysku 8 a destičku 9. Výkres rukojeti 10 není uveden, jedná se o běžný typ kolečka s umělou hmotou, které se používá například u ústředního topení. Otáčením rukojeti 10 se provádí jemná regulace posuvu trysky 8. Posuv je přenášen takto: Otáčením rukojeti 10 doleva se otáčí šroub 6, zábírající se závitem objímky 5, a vysouvá se směrem nahoru. Tlačí přitom na kryt 7, který je spojen s šrouby s půlkulovou hlavou 20 s pouzdrem 3. Pouzdro 3 je nalisováno do desky 2, ve které je šroubem 18 držena tryska 8. Pokud se děje jak po nosníku 4, tak i po voďicím kolíku 16. Nosník 4 i kolík 16 jsou nalisovány do otvorů ramene 1. Rameno 1 je spojeno s horní brusnou deskou 11 dvěma šrouby 17. Po vnitřním i vnějším obvodu brusné desky 11 jsou kroužky 12, 13, které mají význam při odtoku brusné suspenze.

Blokování jednotlivých poloh trysky 8 je umožněno šroubem 19. Po jeho utáhnutí nelze posouvat pouzdro 3 po nosníku 4.

Objímka 5 je nalisována do nosníku 4. Při opotřebení závitu objímky je stavěcím šroubem 22 umožněno její částečné sevření. Objímka i šroub 6 mají závit s velmi jemným stoupáním, což zaručuje posuv trysky i o setiny milimetru.

Na zúžený horní konec trysky 8 bude nasazena vzdutková hadice.

Víko 14 je součástí vlastního brusného zařízení. Je pevně spojeno s planetovým mechanismem. Na víku je připájena destička 9 ze slinutého karbidu, který má vysokou tvrdost a není rozevříván působením vzduchu z trysky.

Držák s brusnou deskou je zajištěn proti otáčení rávorou 15, jejíž tvar je zřejmý z pohledu A-A. Závora je připevněna ke konzole brusného stroje.

Materiály, které jsem použil u součástí držáku jsou všechno oceli třídy 11 a 12, šroub je z mosazi a destička ze slinutého karbidu.

Měření tloušťky pneumaticky probíhá tímto způsobem:
Broušený polotovar se pohybuje v planetových nosičích a jeho tloušťka je dána vzdáleností brusných desek. Broušením se vzdálenost zmenšuje /horní brusná deska klesá/ a zároveň se zmenšuje i vzdálenost trysky od destičky 9 /víko 14 je pevné/. Když je polotovar v předepsané tloušťce, což odpovídá určitému tlaku předem nastavenému, automatický regulátor měření signálem zastaví broušení. Důležitým požadavkem správné činnosti měření je to, aby těžiště držáku bylo v osi trysky. Proto je nutné po vycobení držáku provést jeho vyvážení.

Automatický regulátor a miniaturní filtr-regulátor, použité v navrhovaném uspořádání, jsou zahraniční výroby /USA/. Jejich popis a funkci uvědím podrobně v předešlé kapitole proto, želikož Tesla Raspeneva je závodem k.p. Tesla Uradec Králové, kde systém pneumatického měření tloušťky používají při broušení křemene a jsou tu tudíž určité možnosti spolupráce.

V Československu se v současné době zařízení k pneumatickému měření tloušťky nevyrábí. Před 15-ti roky je vyráběl n.p. Somet Teplice pod označením rotametr. Vyrábí se však v NDR pod názvem AEROPAN.

5. Technicko - ekonomické zhodnocení

Technické zhodnocení:

Výhody pneumatických měřidel jsem uvedl v předešlých kapitolách, přesto je shrnu:

- vysoká přesnost měření
- bezdotykové měření
- kontinuální způsob měření
- jednoduchá konstrukce
- nízká cena
- nezávislost údaje měřiče na chemickém složení měřeného objektu
- hygienická nezávadnost
- možnost signalizace při dosažení požadovaného rozměru
- minimální zásahy do konstrukce stroje při instalaci
- vysoká spolehlivost.

Zásahem do konstrukce stroje se v tomto případě rozumí připojení držáku s tryskou k horní brusné desce.

Ekonomické zhodnocení:

Použitím pneumatického měření tloušťky dojde k:

- zvýšení produktivity práce
- snížení intenzity práce
- snížení požadavku na zkušenosť obsluhy
- snížení zmetkovitosti.

Zvýšení produktivity práce nastane především zánikem jakýchkoli ztrátových časů souvisících s předešlým způsobem měření tloušťky. Odhadem se domnívám, že produktivita práce se zdvojnásobi.

Čas získaný tím, že obsluha se po čas broušení nemusí o stroj starat lze využít např. k řízení dalšího stroje.

Náklady na jednotlivé části pneumatického obvodu nelze dost dobře vyčíslit. Filtr-regulátor a automatický regulátor je nutno zakoupit /cenu neznám/, držák s tryskou vyrábít.

Náklady na držák budou jak přímé - materiálové /z rozpisy/, mzdrové /odměna dělníka za práci/ -, tak nepřímé /energie .../.

6. Závěr

Úkolem mé diplomové práce byl návrh kontinuálního způsobu měření tloušťky. Zvolil jsem měření tloušťky pneumaticky. Zavedení této metody na planetové brusce UP 333 by mělo přispět ke splnění jednoho z cílů, které si klade celé naše národní hospodářství: modernizovat zastaralé výrobní zařízení za účelem zvyšování produktivity práce a kvality výrobků.

Na závěr děkuji za rady, připomínky a projevenou ochotu vedoucímu diplomové práce doc.ing.V.Klebsovi, CSc; konzultantovi s.M.Kobrlemu a také s.J.Štěpovi z Tesly Hradec Králové.

Seznam použité literatury

- /1/ Dráb, V., Moc, L. : Teorie spolehlivosti a řízení jakosti. Skriptum VŠST Liberec 1983
- /2/ Vávra, P. a kol. : Strojnické tabulky. SNTL Praha 1983
- /3/ Prospekt n.p. Tesla Rožnov
- /4/ Prospekt firmy Transat Corporation
- /5/ Prospekt firmy Moore Corporation
- /6/ Prospekt firmy Norgren Corporation